

Отчёт по заданию №4 в рамках курса  
"Суперкомпьютерное моделирование и технологии"

Некрасов Николай Витальевич, 609 группа

## Математическая постановка задачи

В области  $D \subset \mathbb{R}$ , ограниченной контуром  $\gamma$ , рассматривается дифференциальное уравнение Пуассона

$-\Delta u = 1$ , где  $D$  - трапеция, с вершинами в точках  $(0, 0)$ ,  $(0, 3)$ ,  $(3, 0)$ ,  $(2, 3)$ .

Пусть также задано граничное условие типа Дирихле:

$$u(x, y) = 0, (x, y) \in \gamma.$$

Требуется найти функцию  $u(x, y)$ , удовлетворяющую уравнению и условию Дирихле на границе.

## Численный метод

Для приближенного решения был использован метод фиктивных областей. В качестве прямоугольника  $\Pi$  был использован квадрат с вершинами в точках  $(0, 0)$ ,  $(0, 3)$ ,  $(3, 0)$ ,  $(3, 3)$ . Далее была определена функция:

$$F(x, y) = \begin{cases} 1, & (x, y) \in D \\ 0, & (x, y) \notin D \end{cases}$$

В прямоугольнике  $\Pi$  рассматривается задача Дирихле:

$$-\frac{\partial(k(x,y)\frac{\partial u}{\partial x})}{\partial x} - \frac{\partial(k(x,y)\frac{\partial u}{\partial y})}{\partial y} = F(x, y)$$

$u(x, y) = 0, (x, y) \in \Gamma$  с кусочно-постоянным коэффициентом

$$k(x, y) = \begin{cases} 1, & (x, y) \in D \\ 1/\epsilon, & (x, y) \notin D \end{cases}$$

Требуется найти непрерывную в замыкании  $\Pi$  функцию  $u(x, y)$ , удовлетворяющую дифференциальному уравнению всюду внутри  $\Pi \setminus \gamma$ , равную нулю на границе  $\Gamma$  прямоугольника, и такую, чтобы вектор потока имел непрерывную нормальную компоненту на общей части криволинейной области  $D$  и прямоугольника  $\Pi$ .

Для численного решения задачи применим метод конечных разностей. В замыкании прямоугольника  $\Pi$  введем равномерную сетку с шагом  $h$  на каждой оси. Дифференциальное уравнение задачи во всех внутренних точках сетки аппроксимируется разностным уравнением:

$$-\frac{1}{h} \left( a_{i+1j} \frac{w_{i+1j} - w_{ij}}{h} - a_{ij} \frac{w_{ij} - w_{i-1j}}{h} \right) - \frac{1}{h} \left( b_{ij+1} \frac{w_{ij+1} - w_{ij}}{h} - b_{ij} \frac{w_{ij} - w_{i,j-1}}{h} \right) = F_{ij}$$

$i = \overline{1, M-1}, j = \overline{1, N-1}$ , где:

$$a_{ij} = \frac{1}{h} \int_{y_{j-0.5}}^{y_{j+0.5}} k(x_{i-0.5}, t) dt$$

$$b_{ij} = \frac{1}{h} \int_{x_{j-0.5}}^{x_{j+0.5}} k(t, y_{i-0.5}) dt$$

$$F_{ij} = \frac{1}{h^2} \iint_{\Pi_{ij}} F(x, y) dx dy$$

Отсюда получим СЛАУ с самосопряженной и положительно определенной матрицей, которая будет решена методом наименьших невязок.

## Отчет по созданию OpenMP-программы

Для написания OpenMP-программы были использованы конструкции `#pragma omp parallel` и `#pragma omp parallel reduction` в функциях `scalar_product`, `multiply_vector_by_matrix`, `subtract_vector`, `add_vector`, `multiply_vector_by_number..`

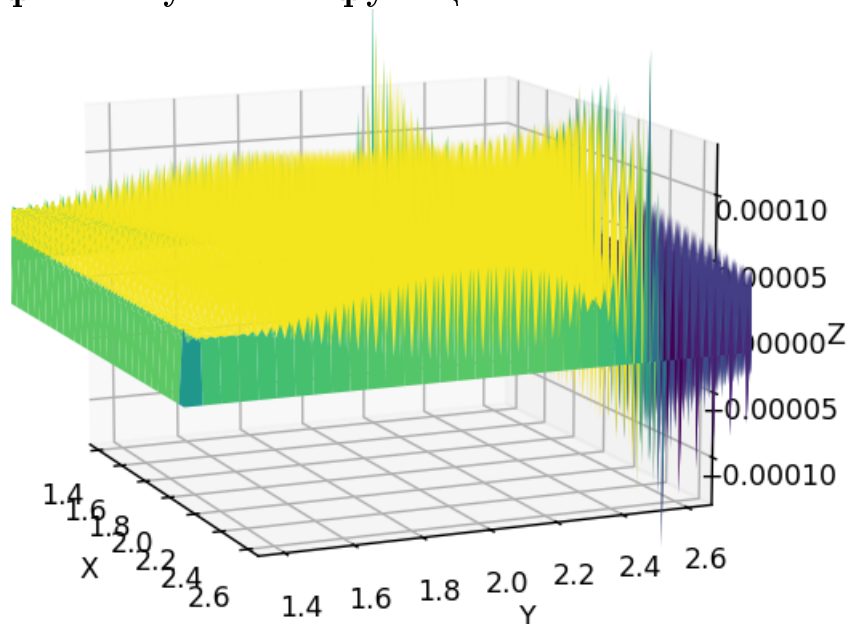
## Результаты работы программы

Результаты работы программы для случая 10, 20, 40, 80, 160 точек находятся в файлах result10.txt, result20.txt, result40.txt, result80.txt, result160.txt соответственно.

Таблица 1: Таблица с результатами расчетов на ПВС IBM Polus (OpenMP код).

Число OpenMP-нитей	Число точек сетки $M \times N$	Время решения	Ускорение
2	$80 \times 80$	71	1.8
4	$80 \times 80$	45	2.9
8	$80 \times 80$	25	5.24
16	$80 \times 80$	15	8.7
4	$160 \times 160$	108	2.78
8	$160 \times 160$	65	4.63
16	$160 \times 160$	38	7.92
32	$160 \times 160$	25	12

## График полученной функции



## Графики ускорений

График ускорения для случая, когда кол-во узлов равно 80:

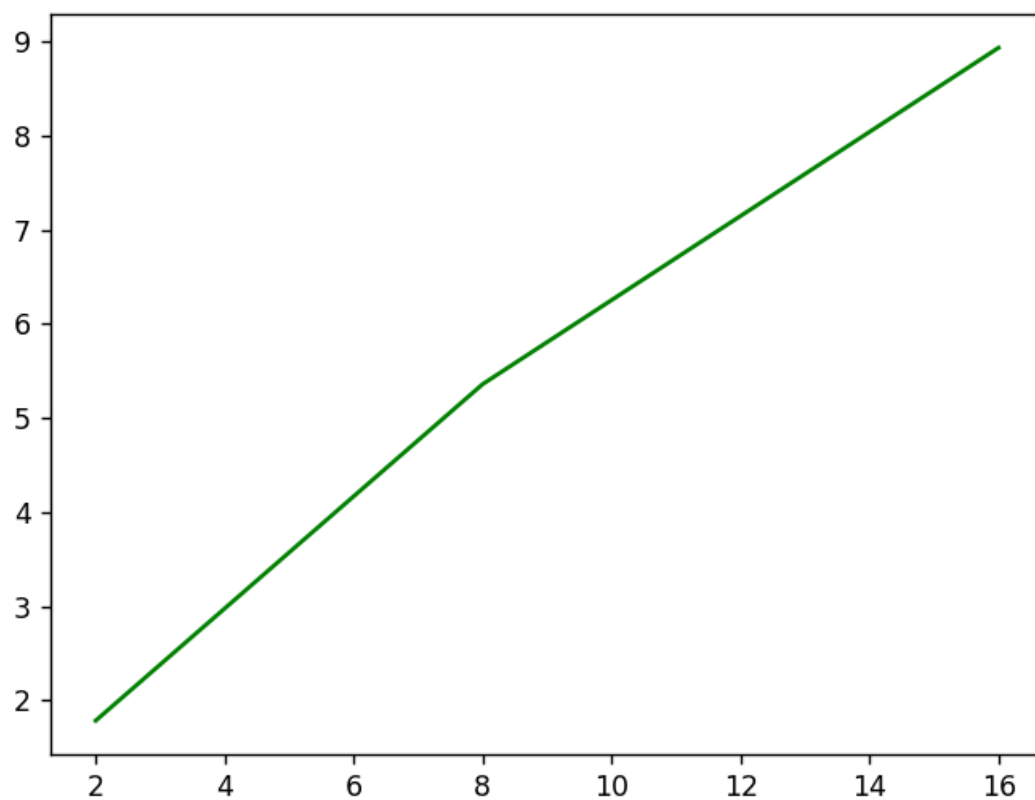
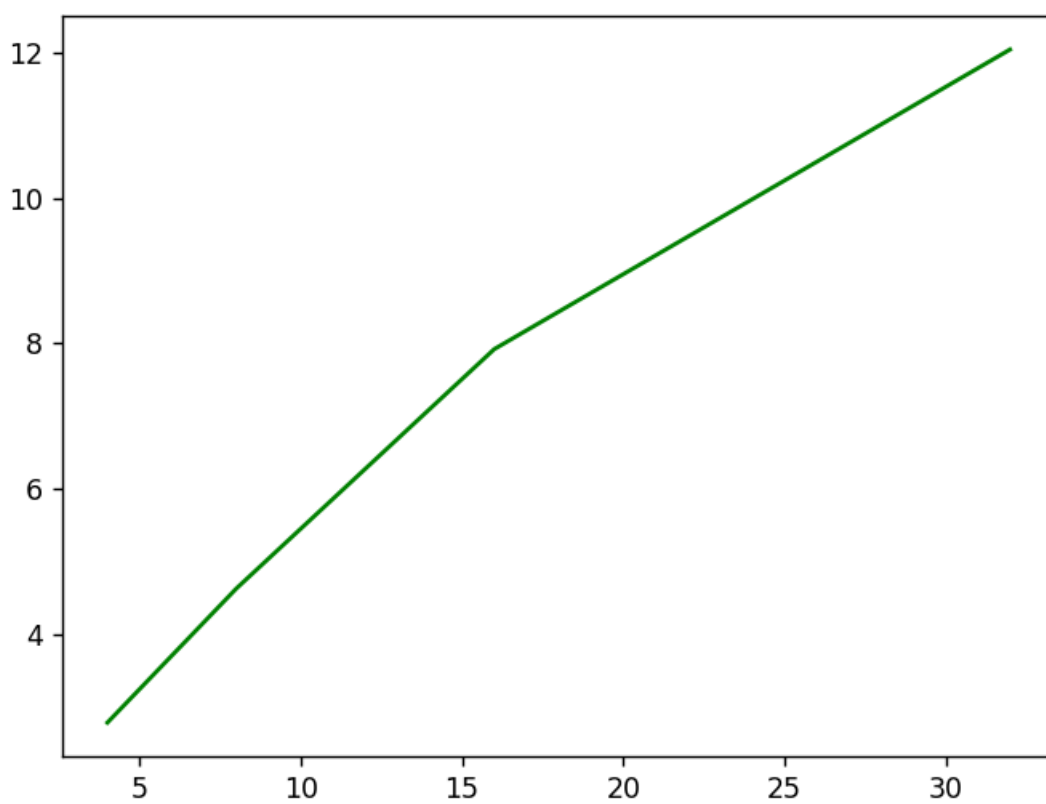


График ускорения для случая, когда кол-во узлов равно 160:



## Результаты работы гибридной программы

Таблица 2: Таблица с результатами расчетов на ПВС IBM Polus (MPI+OpenMP код).

Число процес- сов MPI	Количество OpenMP-нитей в процессе	Число точек сетки ( $M \times N$ )	Время решения	Ускорение
2	1	$80 \times 80$	69.5	1.87
2	2	$80 \times 80$	44.5	2.92
2	4	$80 \times 80$	24.4	5.31
2	8	$80 \times 80$	14.6	8.9
4	1	$160 \times 160$	104	2.78
4	2	$160 \times 160$	62.5	4.63
4	4	$160 \times 160$	35.7	7.92
4	8	$160 \times 160$	24.2	12

## Графики ускорений для гибридной программы

График ускорения для случая, когда кол-во узлов равно 80:

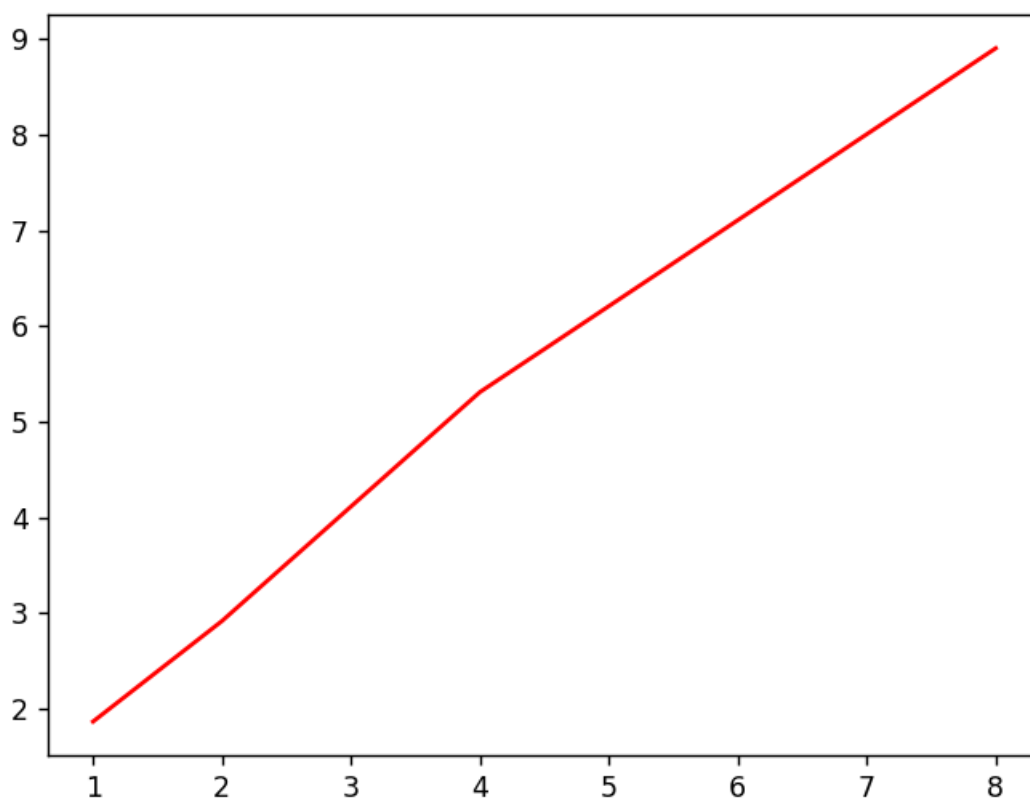
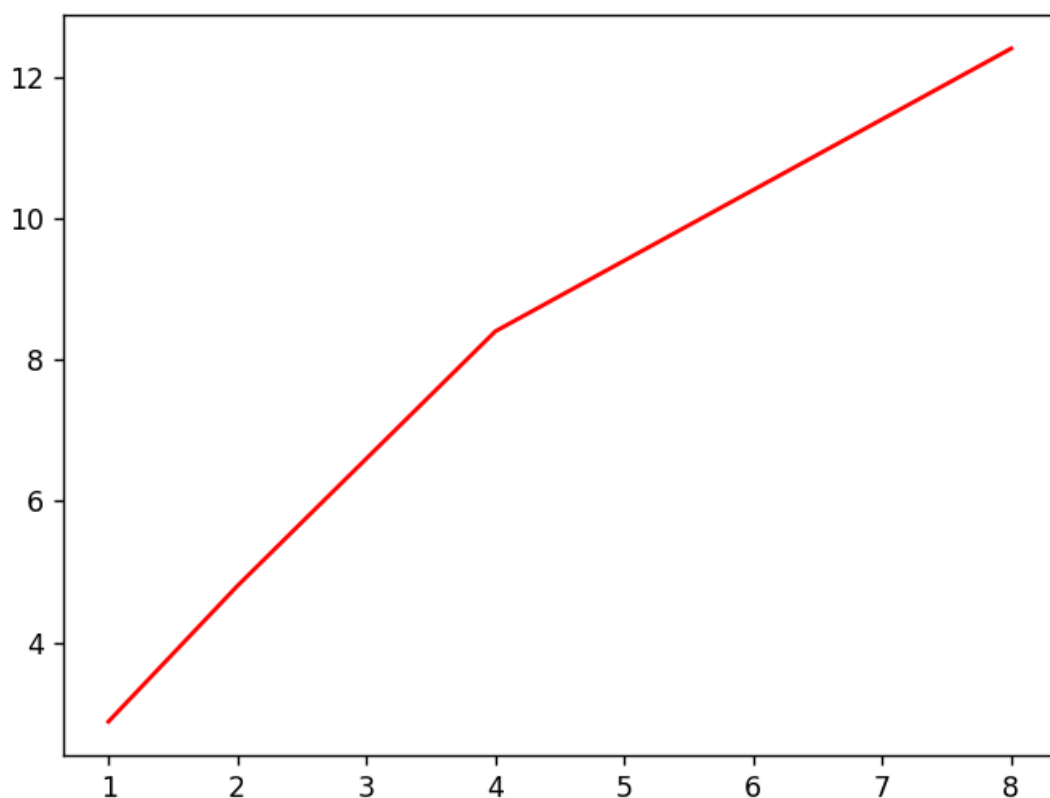


График ускорения для случая, когда кол-во узлов равно 160:



## Отчет по созданию CDVMH-программы

Будем рассматривать решение краевой задачи на 160 точках. Значения переменных `DVMH_NUM_THREADS` и `DVMH_NUM_CUDAS` задавались скриптом по умолчанию и никак не изменялись. Оценка корректности параллельной программы осуществлялась посредством сравнения результата ее работы с результатом работы последовательной программы.

Приведенные ниже данные были получены при запуске программы со значением переменной `DVMH_LOGLEVEL = 4`.

Строка цикла	Performance
42	2.68943e + 08
145	1.51085e + 08
241	1.87503e + 09
250	1.33391e + 09
260	93787.5
276	1.7038e + 09
286	4.77055e + 09
295	2.30882e + 09
304	1.60367e + 09
313	1.81965e + 09
323	4.75698e + 09
337	4.19803e + 09

346	94189.7
361	1.39099e + 09

Таблица 1: Производительность каждого параллельного цикла

Размеры матриц виртуальных процессоров	Длительность выполнения
1 1 1 1	250
2 1 1 1	161
2 2 1 1	84,3
2 2 2 1	52,4
2 2 2 2	33.4

Таблица 2: Общее время работы программы

## Графики ускорений для CDVMH-программы в сравнении с Open-MP

График ускорения CDVMH-программы по сравнению с последовательной:

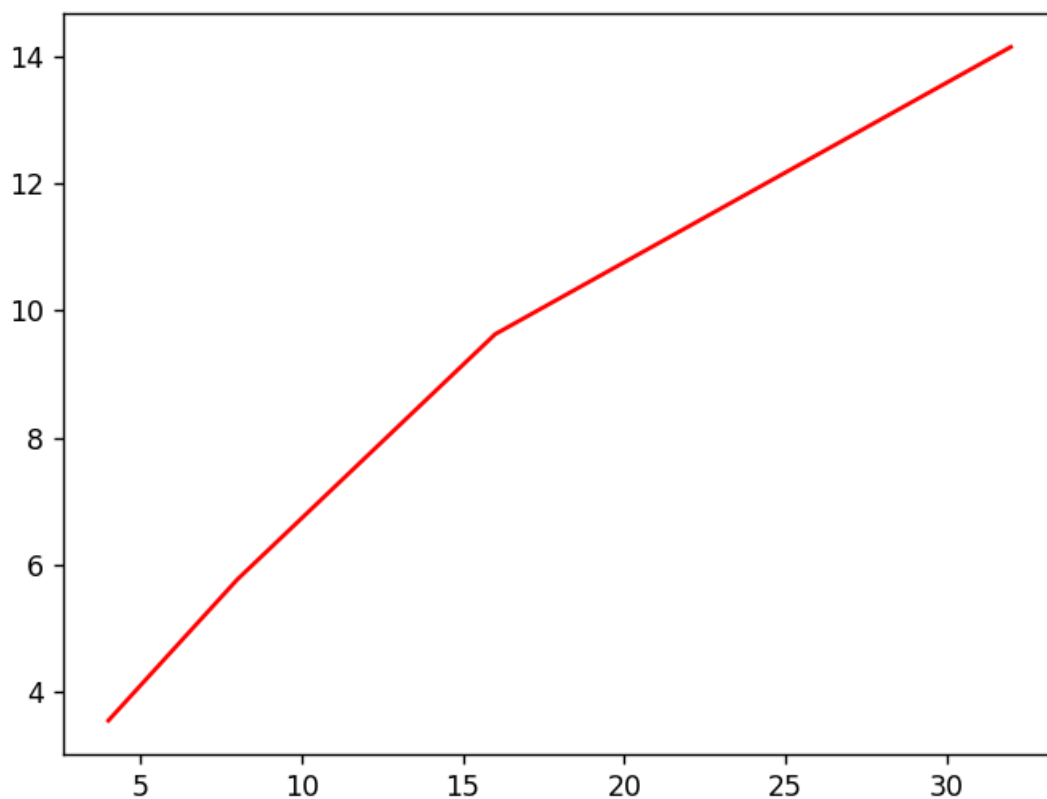
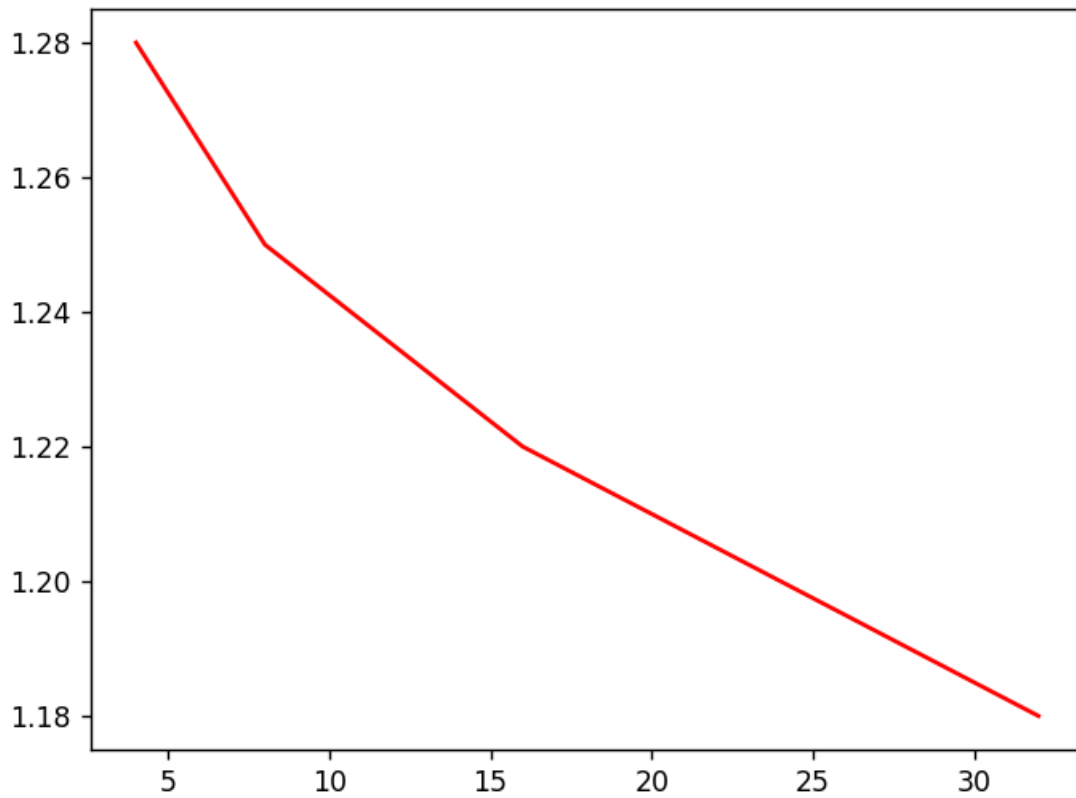


График ускорения CDVMH-программы по сравнению с Open-MP:



На первый взгляд столь сильно ускорение может показаться аномальным, однако оно является ожидаемым, т.к. в Open-MP (как и в MPI) версии программы не распараллелен этап создания матрицы системы.

График ускорения CDVMH-программы по сравнению с гибридной реализацией:



